

О КОМПЬЮТЕРИЗАЦИИ РАСЧЕТА СИСТЕМ ПЕРЕКРЕСТНЫХ БАЛОК

Игнатюк В. И.

Расчет сложных систем сегодня чаще всего выполняется методом конечных элементов, метод хорошо поддается алгоритмизации [1, 2] и на базе его разработано большинство современных компьютерных программ.

Рассматривается расчёт систем перекрестных балок (СПБ) на действие статических нагрузок методом конечных элементов (МКЭ) в форме метода перемещений [1] и создание соответствующей компьютерной программы расчета. Методика расчета разработана с учетом упругой податливости присоединения балочно-стержневых элементов к узлам.

Разрешающие уравнения МКЭ записываются в виде [1]:

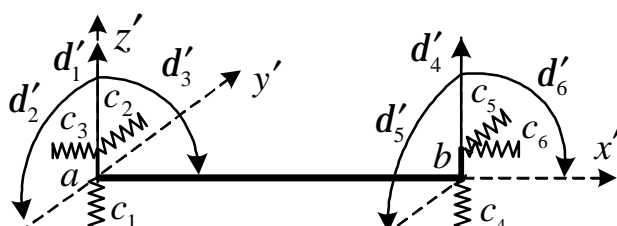
$$[E_1] \cdot \{-[K] \cdot \{\Delta\} + \{P\}\} = 0, \quad (1)$$

где: $\{P\}$ – вектор нагрузок в узлах системы; $\{\Delta\}$ – вектор перемещений узлов; $\{K\}$ – матрица жесткости системы; $[E_1]$ – единичная диагональная матрица, в которой элементы на диагонали равны либо 1, если перемещения возможны, либо нулю, если перемещения не возможны вследствие наличия по направлениям опорных связей. Основы используемого метода конечных элементов представлены в работе [1]. Для систем перекрестных балок здесь пренебрегается линейными перемещениями в плоскости СПБ и углами поворота вокруг вертикальной оси. В результате вектор перемещений в узле СПБ будет иметь три величины – вертикальное линейное перемещение (в направлении оси z) и два угла поворота относительно горизонтальных осей x и y . Для конечных элементов будем иметь по шесть перемещений (рисунок 1) и усилий по концам. Матрица жесткости системы формируется из матриц жесткости конечных элементов (КЭ) дискретной модели СПБ в глобальной системе координат в соответствии со структурой системы [1].

Связь между матрицами жесткости КЭ в глобальной и локальной системах координат определяется выражением:

$$[K] = [T_a]^T [K'] \cdot [T_a]. \quad (2)$$

Здесь $[T_a]$ – матрица преобразования координат для КЭ, имеющая вид:



$$[T_a] = \left[\begin{array}{ccc|ccc} 1 & 0 & 0 & 0 & 0 & 0 \\ 0 & \cos g & \sin g & 0 & 0 & 0 \\ 0 & -\sin g & \cos g & 0 & 0 & 0 \\ \hline 0 & 0 & 0 & 1 & 0 & 0 \\ 0 & 0 & 0 & 0 & \cos g & \sin g \\ 0 & 0 & 0 & 0 & -\sin g & \cos g \end{array} \right], \quad (3)$$

Рисунок 1 – Упругие связи КЭ СПБ

где γ – угол поворота КЭ по отношению к глобальной оси координат.

Для учёта упругой податливости узловых соединений получена матрица жёсткости КЭ, учитывающая упруго-податливое присоединение КЭ к узлам с помощью вертикальных (c_1, c_4) и угловых (c_2, c_3, c_5, c_6) упругих связей (рисунок 1), которая в локальной системе координат имеет вид:

$$[K'_3] = \begin{bmatrix} \frac{12EJ}{l^3}k_1 & 0 & -\frac{6EJ}{l^2}k_2 & -\frac{12EJ}{l^3}k_1 & 0 & -\frac{6EJ}{l^2}k_4 \\ 0 & \frac{GJ_{кр}}{l}k_G & 0 & 0 & -\frac{GJ_{кр}}{l}k_G & 0 \\ -\frac{6EJ}{l^2}k_2 & 0 & \frac{3EJ}{l}(k_2+k_3) & \frac{6EJ}{l^2}k_2 & 0 & \frac{3EJ}{l}(k_2-k_3) \\ \hline \frac{12EJ}{l^3}k_1 & 0 & \frac{6EJ}{l^2}k_2 & \frac{12EJ}{l^3}k_1 & 0 & \frac{6EJ}{l^2}k_4 \\ 0 & -\frac{GJ_{кр}}{l}k_G & 0 & 0 & \frac{GJ_{кр}}{l}k_G & 0 \\ -\frac{6EJ}{l^2}k_4 & 0 & \frac{3EJ}{l}(k_2-k_3) & \frac{6EJ}{l^2}k_4 & 0 & \frac{3EJ}{l}(k_4+k_5) \end{bmatrix}, \quad (4)$$

где: c_j – упругая податливость связи, равная величине ее смещения (линейного либо углового) при приложении к ней единичного усилия (упругая податливость связи обратна ее жесткости); $EJ, GJ_{кр}$ – изгибная и крутильная жесткости конечного элемента.

В (4) обозначено: $k_1 = \frac{t_4}{t_2 t_4 - 3t_3^2}$; $k_2 = \frac{t_3 + t_4}{t_2 t_4 - 3t_3^2}$; $k_3 = \frac{1}{3t_4} + \frac{t_3}{t_4} k_2$;
 $k_4 = \frac{t_4 - t_3}{t_2 t_4 - 3t_3^2}$; $k_5 = \frac{1}{3t_4} + \frac{t_3}{t_4} k_4$; $k_G = \frac{1}{1 + (c_1 + c_4) \frac{GJ_{кр}}{l}}$,

где: $t_2 = 1 + (c_2 + c_5) \frac{12EJ}{l^3} + (c_3 + c_6) \frac{3EJ}{l}$; $t_3 = (c_6 - c_3) \frac{EJ}{l}$; $t_4 = 1 + (c_3 + c_6) \frac{EJ}{l}$.

Варьируя величины упругих связей c_i от нуля до бесконечности можно получить матрицы жесткости с шарнирными и жесткими соединениями конечных элементов в узлах.

При действии на КЭ распределённых нагрузок в МКЭ их необходимо преобразовывать к узловым. Это преобразование для конечных элементов, упруго-податливо присоединяемых

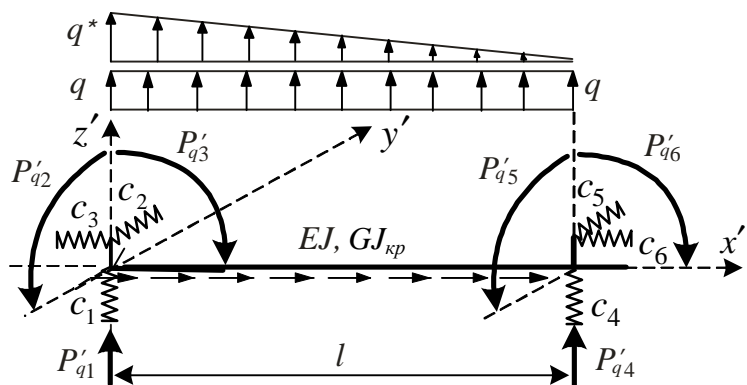


Рисунок 2

к узлам, получено на основе расчётов соответствующих конечных элементов.

Для нагружения КЭ распределёнными нагрузками, представленными на рисунке 2, величины узловых нагрузок будут определяться выражением:

$$\{P'_q\} = \begin{Bmatrix} P'_{q1} \\ P'_{q2} \\ P'_{q3} \\ P'_{q4} \\ P'_{q5} \\ P'_{q6} \end{Bmatrix} = \begin{Bmatrix} \frac{ql}{2}(1-f_{q2}) + \frac{q^*l}{20}(10-u_{q1}) \\ 0 \\ -\frac{ql^2}{12}(1,5-3f_{q2}-f_{q3}) - \frac{q^*l^2}{120}(20+u_{q2}-6u_{q1}) \\ \frac{ql}{2}(1+f_{q2}) + \frac{q^*l}{20}u_{q1} \\ 0 \\ \frac{ql^2}{12}(1,5+3f_{q2}-f_{q3}) + \frac{q^*l^2}{120}u_{q2} \end{Bmatrix}. \quad (5)$$

В (5) обозначено: $f_{q2} = \frac{3t_{q2}t_4 - t_{q3}t_3}{6t_3^2 - 2t_2t_4}$; $f_{q3} = 3f_{q2} \frac{t_3}{t_4} + \frac{t_{q3}}{2t_4}$;

$$u_{q1} = \frac{8s_{q2}u_3 - 5s_{q3}u_2}{4u_1u_3 - 3u_2^2}, \quad u_{q2} = \frac{3u_2u_{q1} - 5s_{q3}}{u_3},$$

где: $t_{q2} = \frac{EJ}{l} \left(\frac{1}{c_6} - \frac{1}{c_3} \right) + \frac{8EJ}{l^3} \left(\frac{1}{c_5} - \frac{1}{c_2} \right)$; $t_{q3} = 1 + \frac{3EJ}{l} \left(\frac{1}{c_3} + \frac{1}{c_6} \right)$; $s_{q2} = 1 + \frac{15EJ}{c_2l^3}$;

$$s_{q3} = 1 + \frac{4EJ}{c_3l}; \quad u_1 = 1 + \frac{3EJ}{l^3} \left(\frac{1}{c_2} + \frac{1}{c_5} \right) + \frac{3EJ}{c_3l}; \quad u_2 = 1 + \frac{2EJ}{c_3l}; \quad u_3 = 1 + \left(\frac{1}{c_3} + \frac{1}{c_6} \right) \frac{EJ}{l}.$$

Полученные выражения матриц жёсткости КЭ и сосредоточенных узловых усилий от распределённых равномерно и по треугольным законам нагрузок позволяют определять усилия в СПБ с учётом упруго-податливого присоединения КЭ к узлам на базе метода конечных элементов.

Далее получим зависимости для определения перемещений сечений балочного КЭ, упруго-податливого присоединяемого к узлам дискретной модели СПБ, в зависимости от перемещений узловых точек дискретной модели и действующих на стержни распределённых нагрузок. Зависимости для КЭ получим сначала в местной системе координат с последующим их преобразованием в глобальную систему координат [1].

Расчет КЭ выполним методом перемещений [3], приняв за неизвестные перемещения конечных точек элемента (Z_i), в которых он присоединяется к узлам конечно-элементной модели системы с помощью упругих связей (перемещения точек a и b на рисунке 3).

Основную систему метода перемещений получим, установив по направлениям всех возможных линейных и угловых перемещений концов стержня в точках a и b дополнительные связи (рисунок 3). Система уравнений метода перемещений в матричной форме имеет вид:

$$[r] \cdot \{Z\} + \{R_F\} = 0, \quad (6)$$

где: $\{Z\}$ – вектор перемещений дополнительных связей (рисунок 3); $[r]$ – матрица реакций в дополнительных связях, возникающих при их единичных смещениях; элемент этой матрицы r_{ik} есть реактивное усилие в направлении i -ой

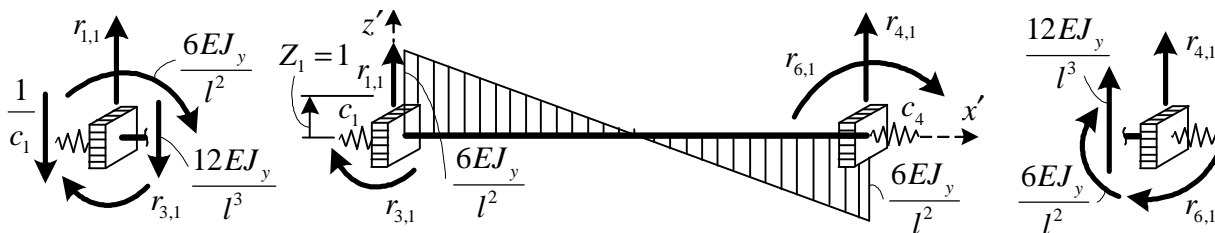
дополнительной связи (сила в линейной связи, либо момент в угловой связи) от единичного перемещения k -ой дополнительной связи (линейного смещения либо угла поворота); $\{R_F\}$ – вектор реактивных усилий в дополнительных связях от внешних воздействий, в качестве которых здесь будут выступать перемещения узлов d'_i и внешние нагрузки, распределенные в общем случае по трапецидальным зависимостям.



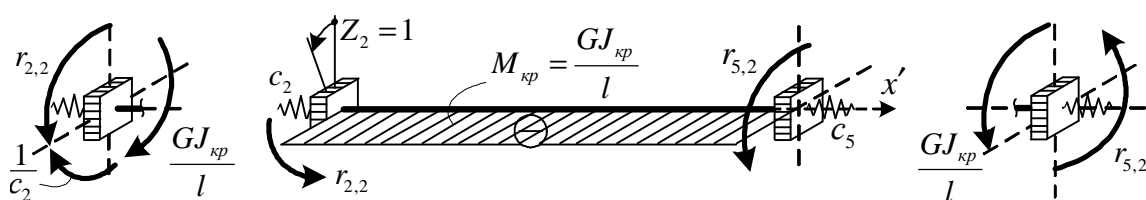
Рисунок 3 – Основная система метода перемещений

Для определения реакций в дополнительных связях от единичных перемещений узлов воспользуемся табличными эпюрами метода перемещений [3]. Построим от каждого из единичных перемещений эпюры изгибающих моментов и найдем возникающие в дополнительных связях реакции способом вырезания узлов. При этом учтем, что при единичном перемещении упругих связей в них возникают усилия (силы, моменты), равные обратной величине их упругой податливости. На рисунок 4 показаны соответствующие процедуры для перемещений $Z_1=1$, $Z_2=1$, $Z_3=1$.

а) от линейного перемещения $Z_1=1$:



б) от угла поворота $Z_2=1$:



в) от угла поворота $Z_3=1$:

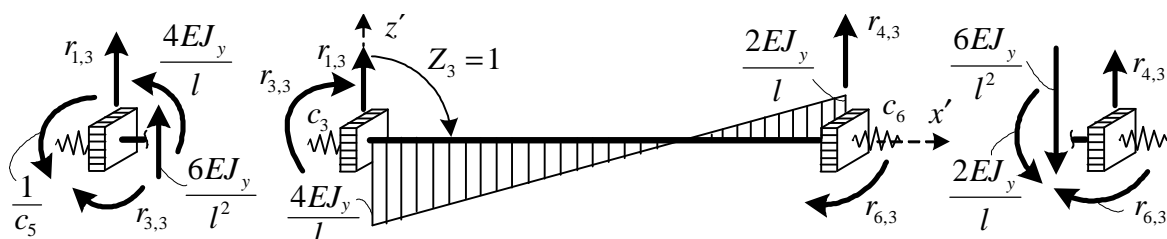


Рисунок 4

Реакции в дополнительных связях, возникающих от единичных перемещений, находятся из вырезания узлов и рассмотрения их равновесия (рисунок 4). Матрица $[r]$ в результате принимает вид:

$$[r] = \begin{bmatrix} \frac{12EJ_y}{l^3} + \frac{1}{c_1} & 0 & -\frac{6EJ_y}{l^2} & -\frac{12EJ_y}{l^3} & 0 & -\frac{6EJ_y}{l^2} \\ 0 & \frac{GJ_{кр}}{l} + \frac{1}{c_2} & 0 & 0 & -\frac{GJ_{кр}}{l} & 0 \\ -\frac{6EJ_y}{l^2} & 0 & \frac{4EJ_y}{l} + \frac{1}{c_3} & \frac{6EJ_y}{l^2} & 0 & \frac{2EJ_y}{l} \\ \hline -\frac{12EJ_y}{l^3} & 0 & \frac{6EJ_y}{l^2} & \frac{12EJ_y}{l^3} + \frac{1}{c_4} & 0 & \frac{6EJ_y}{l^2} \\ 0 & -\frac{GJ_{кр}}{l} & 0 & 0 & \frac{GJ_{кр}}{l} + \frac{1}{c_5} & 0 \\ -\frac{6EJ_y}{l^2} & 0 & \frac{2EJ_y}{l} & \frac{6EJ_y}{l^2} & 0 & \frac{4EJ_y}{l} + \frac{1}{c_6} \end{bmatrix} \cdot \quad (9)$$

Свободные члены уравнения (6) $R_{i,F}$ представляют собой реакции в дополнительных связях от внешних воздействий на конечный элемент. В качестве внешних воздействий здесь выступают перемещения узлов d'_i и распределенные по трапецидальным зависимостям нагрузки. Перемещения узлов d'_i будут вызывать в упругих связях усилия, равные произведению этих перемещений на величины, обратные жесткостям связей ($d'_i \cdot (1/c_i)$). Действие трапецидально распределенных нагрузок учтем, сложив действие равномерно распределенной и треугольно распределенной нагрузок. Определение грузовых реакций $R_{i,F}$ для КЭ от перемещений узлов d'_i и распределенных нагрузок показано на рисунок 5.

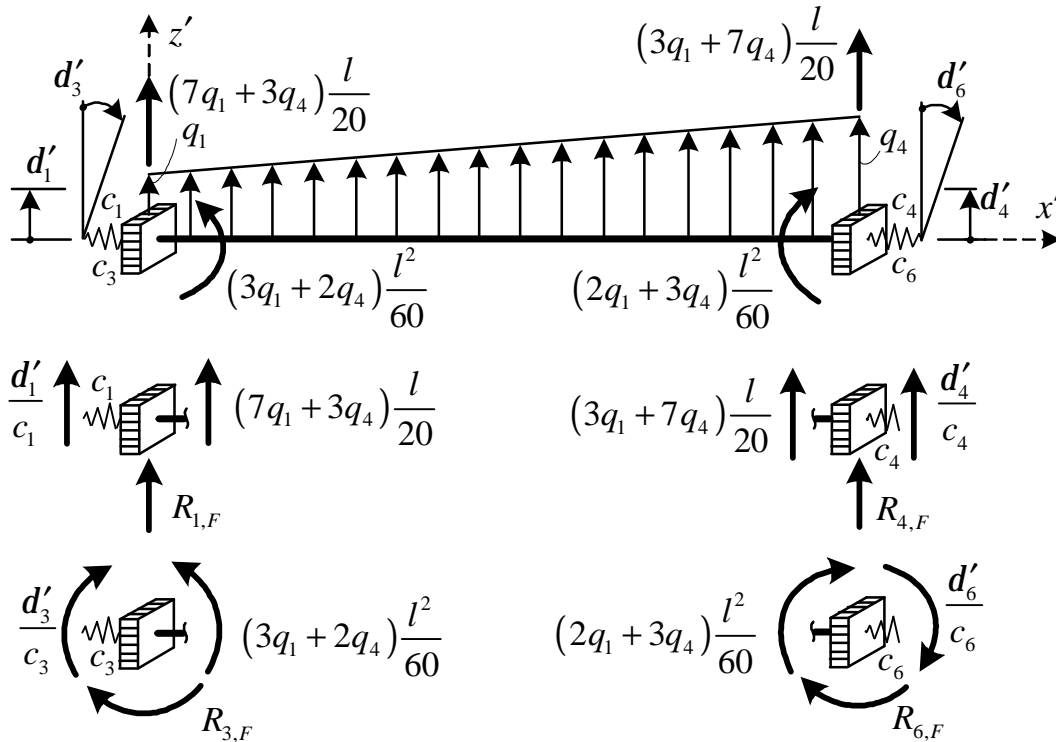


Рисунок 5 – Определение грузовых реакций в плоскости $x'z'$

Вырезая узлы, получим: $R_{1,F} = -\frac{d'_1}{c_1} - (7q_1 + 3q_4) \frac{l}{20}$;

$$R_{3,F} = -\frac{d'_3}{c_3} - (3q_1 + 2q_4) \frac{l^2}{60}; \quad R_{4,F} = -\frac{d'_4}{c_4} - (q_1 + 2q_4) \frac{l}{6}; \quad R_{6,F} = -\frac{d'_6}{c_6} - (2q_1 + 3q_4) \frac{l^2}{60}.$$

Матрица $\{R_F\}$ определена. Решая систему уравнений метода перемещений (6), найдем перемещения $\{Z\}$ концов стержня.

После этого перемещение любого сечения стержня в местной системе координат можно определить на основе дифференциальной зависимости:

$$\frac{d^2 u_1}{dx^2} = \frac{M_y}{EJ_y}, \quad \frac{d^2 u_1}{dx^2} = \frac{M_y}{EJ_y} = \frac{1}{EJ_y} \left(r_4 + r_1 x + \frac{q_1}{2} x^2 + \frac{q_4 - q_1}{6l} x^3 \right).$$

Проинтегрировав выражение два раза и учтя граничные условия (при $x=0 - y=Z_1, j_z = \frac{du_1}{dx} = -Z_3$), найдем постоянные интегрирования.

В результате зависимость для прогибов сечений элемента получим в виде:

$$u_1 = Z_1 - Z_3 x + \frac{1}{EJ_z} \left(r_3 \frac{x^2}{2} + r_1 \frac{x^3}{6} + q_1 \frac{x^4}{24} + \frac{q_4 - q_1}{120l} x^5 \right).$$

После этого не составляет труда выполнить преобразование матрицы перемещений из местной в глобальную систему координат и получить зависимости для определения деформированного вида системы.

На основе изложенного сформирован алгоритм расчета СПБ методом конечных элементов, разработана (совместно с инж. Алексеевым Т. Ю.) компьютерная программа расчета «CrossBeam». Программа составлена на языке C# [4] в среде Microsoft Visual Studio для ОС Windows.

Основное окно программы «CrossBeam» представлено на рисунке 6, где

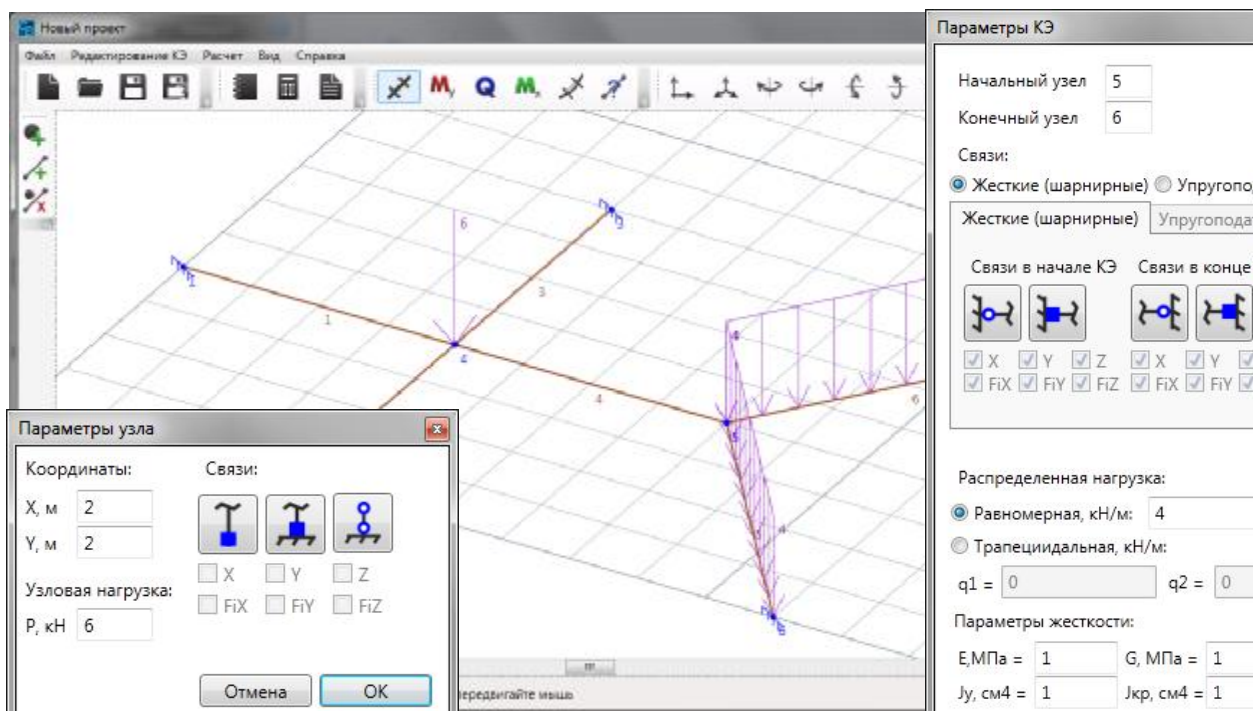


Рисунок 6 – Основное окно программы и окна параметров узлов и КЭ

показана также дискретная схема СПБ и окна ввода исходных данных «Параметры узла» и «Параметры КЭ», в которых задаются узлы дискретной модели СПБ и конечные элементы (включая номера узлов, с которыми соединяются КЭ, условия (связи) соединения КЭ с этими узлами (жесткие, шарнирные либо упруго-податливые), геометрические и жесткостные параметры балочно-стержневых КЭ и нагрузки на узлы и КЭ). Эти окна могут

быть вызваны в любой момент для корректировки исходных данных. Исходные данные представляются в графическом и в табличном вариантах.

После ввода исходных данных программа проверяет систему на геометрическую неизменяемость и выполняет расчет системы. Результаты расчета представляются в виде численных результатов (в табличном виде) и в графическом виде – в виде эпюр усилий: изгибающих моментов M_y (рисунок 9), поперечных сил Q_z , крутящих моментов $M_{кр}$, а также в виде деформированной схемы системы (рисунок 9).

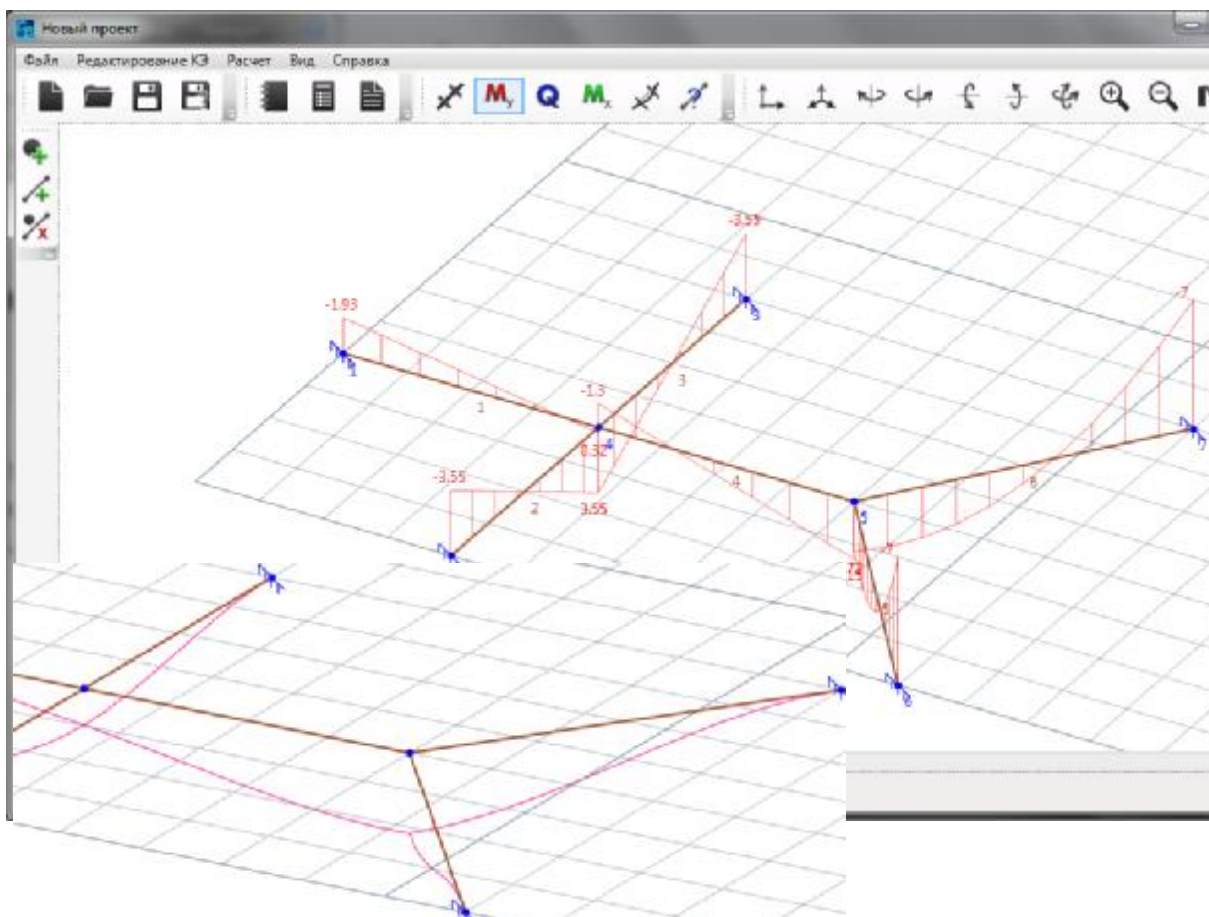


Рисунок 9 – Эпюра M_y и деформированный вид системы

После выполнения расчета системы можно посмотреть его результаты отдельно каждого КЭ, вызвав окно результатов расчета КЭ, в котором можно получить также усилия в любом из сечений КЭ. Изображения настраиваются с позиций наилучшего представления соответствующих объектов (повороты относительно вертикальной и горизонтальных осей, перемещения изображения, масштабирование, различные виды аксонометрии и т.п.).

Программа может использоваться в учебном процессе и в расчетно-проектной практике.

СПИСОК ЦИТИРОВАННЫХ ИСТОЧНИКОВ

1. Игнатюк, В. И. Метод конечных элементов в расчетах стержневых систем : учебное пособие / В. И. Игнатюк. – Брест : БрГТУ, 2009. – 172 с.
2. Перельмутер, А. В. Расчетные модели сооружений и возможность их анализа / А. В. Перельмутер, В. И. Сливкер. – М. : ДМК Пресс, 2007. – 600 с.
3. Борисевич, А. А. Строительная механика: учебное пособие / А. А. Борисевич, Е. М. Сидорович, В. И. Игнатюк. – Минск : БНТУ, 2009. – 756 с.
4. Павловская, Т. А. С#: Программирование на языке высокого уровня. – С.-Петербург : Питер, 2014. – 432 с.